

文章编号: 1000-8152(2010)06-0809-06

# 具有时变输入与状态时滞的Markov跳变系统鲁棒 $H_\infty$ 控制

刘健辰, 章 莉

(湖南大学 电气与信息工程学院, 湖南 长沙 410082)

**摘要:** 研究一类同时具有时变输入和状态时滞的不确定Markov跳变系统的时滞相关鲁棒 $H_\infty$ 控制问题。采用新的Lyapunov-Krasovskii泛函, 基于积分不等式方法, 使所得结果具有较小的保守性。避免对时变时滞变化率等的限制。控制器可以通过锥补线性化方法求解。数值算例显示所提出方法的有效性。

**关键词:** Markovian跳变系统; 时滞; 积分不等式方法; 锥补线性化

中图分类号: TP13 文献标识码: A

## Robust H-infinity control for Markovian jump systems with time-varying time-delay in input and state

LIU Jian-chen, ZHANG Jing

(College of Electrical and Information Engineering, Hunan University, Changsha Hunan 410082, China)

**Abstract:** The delay-dependent robust H-infinity control for a class of uncertain Markovian jump linear systems with time-varying time-delay in input and state is studied. Since we employ in the study the new Lyapunov-Krasovskii functional and the integral-inequality method, the obtained results are less conservative. The constraints on the changing rate of the time-delay in the existing literature are avoided in our results. The controller can be solved by the cone complementary linearization method. Numerical examples show the effectiveness of the proposed approach.

**Key words:** Markovian jump system; time-delay; integral-inequality method; cone complementary linearization

## 1 引言(Introduction)

近年来, 时滞Markov跳变系统的分析和设计问题引起了大量的关注<sup>[1~7]</sup>。其中, 时滞相关结果<sup>[2~7]</sup>具有更小的保守性, 因此更具研究意义。但是, 文献[2]使用了模型变换和交叉项定界技术, 文献[3~5]引入了一些松弛变量, 这使所得结果具有较大的保守性, 并增加了求解变量数目, 从而影响了求解效率。另外需要注意的是, 文献[1~5]都是针对状态时滞的, 目前还较少研究具有输入时滞的情况。无记忆控制器<sup>[6]</sup>的设计和实现都比有记忆控制器<sup>[7]</sup>简单得多, 但是文献[6]中要求系统的状态时滞与输入时滞完全相同, 且时滞变化率小于1, 这些要求一般是难以满足的, 从而大大缩小了该方法的适用范围。

本文基于积分不等式方法<sup>[8]</sup>研究同时具有输入和状态时滞的不确定Markov跳变系统的鲁棒 $H_\infty$ 控制问题。其中, 系统的输入时滞和状态时滞均是时变的, 并且两者可以不同; 对于时变时滞变化率去除了小于1的限制。

## 2 问题描述(Problem statement)

考虑如下不确定Markov跳变系统:

$$\begin{cases} \dot{x}(t) = [A(r_t) + \Delta A(r_t, t)]x(t) + [A_d(r_t) + \\ \quad \Delta A_d(r_t, t)]x(t - d_1(t)) + [B(r_t) + \\ \quad \Delta B(r_t, t)]u(t) + [B_d(r_t) + \\ \quad \Delta B_d(r_t, t)]u(t - d_2(t)) + B_\omega(r_t)\omega(t), \\ z(t) = C(r_t)x(t) + C_d(r_t)x(t - d_1(t)) + \\ \quad D(r_t)u(t) + D_d(r_t)u(t - d_2(t)) + \\ \quad D_\omega(r_t)\omega(t), \\ x(t) = \varphi(t), t \in [-\max\{h_1, h_2\}, 0]. \end{cases} \quad (1)$$

其中:  $x(t) \in \mathbb{R}^n$ ,  $u(t) \in \mathbb{R}^m$  和  $z(t) \in \mathbb{R}^r$  分别是系统的状态、控制输入和输出向量;  $\omega(t) \in \mathbb{R}^q$  为  $L_2[0, \infty)$  上的扰动输入,  $L_2[0, \infty)$  代表平方可积向量函数空间。 $\varphi(t)$  为连续初始函数;  $r_t = r(t)$  为系统模态, 是取值于有限集合  $S = \{1, \dots, s\}$  上的齐次Markov过程, 其转移概率为

$$P[r_{t+h} = j | r_t = i] = \begin{cases} \pi_{ij}h + O(h), & i \neq j, \\ 1 + \pi_{ii}h + O(h), & i = j. \end{cases}$$

其中  $\pi_{ij}$  是从模态  $i$  到模态  $j$  的转移速率, 当  $i \neq j$  时,

$\pi_{ij} > 0$ , 并有

$$\pi_{ii} = -\sum_{j=1, j \neq i}^N \pi_{ij}, \lim_{h \rightarrow 0} \frac{\Omega(h)}{h} = 0.$$

$\Delta A(r_t, t)$  等描述系统时变不确定性, 具有以下形式:

$$\begin{aligned} [\Delta A \ \Delta A_d \ \Delta B \ \Delta B_d] = \\ H(r_t)F(t) \times [E_1(r_t) \ E_2(r_t) \ E_3(r_t) \ E_4(r_t)], \end{aligned} \quad (2)$$

其中:  $H(r_t)$  和  $E_j(r_t)$  ( $j = 1, 2, 3, 4$ ) 为适当维数的常数矩阵,  $F(t)$  为未知时变矩阵, 且满足

$$F^T(t)F(t) \leq I, \forall t, \quad (3)$$

$d_1(t)$  和  $d_2(t)$  为时变有界时滞, 满足

$$\begin{aligned} 0 \leq d_1(t) \leq h_1, 0 \leq d_2(t) \leq h_2, \\ \dot{d}_1(t) \leq \mu_1, \dot{d}_2(t) \leq \mu_2. \end{aligned} \quad (4)$$

为了简化叙述, 将  $A(r_t = i)$  记为  $A_i$ , 其他矩阵类推.

**定义 1<sup>[9]</sup>** 当  $u(t) = 0$  时, 如果对于任意  $\varphi(t)$  和  $r_0 \in S$  有

$$E\left\{\int_0^\infty \|x(t, \varphi(t), r_0)\|^2 dt\right\} < \infty \quad (5)$$

成立, 则称标称系统(1)( $F(t) = 0$ ) 为均方渐近稳定的, 简称渐近稳定. 其中:  $\|\cdot\|$  表示向量的欧氏范数,  $E\{\cdot\}$  表示数学期望.

**定义 2** 给定标量  $\gamma > 0$ , 如果存在无记忆状态反馈控制器

$$u(t) = K_i x(t) \quad (6)$$

使得对于任意  $x_0, r_0 \in S$  和任意容许的系统不确定性(2), 闭环系统均渐近稳定且有

$$E\left\{\int_0^\infty z^T(t)z(t)dt\right\} \leq \gamma^2 \left[ \int_0^\infty \omega^T(t)\omega(t)dt \right], \quad (7)$$

则系统(1)称为鲁棒稳定且具  $H_\infty$  范数界, 对应的控制器称为鲁棒  $H_\infty$  控制器.

在得出本文主要结果之前, 首先给出如下引理.

**引理 1<sup>[8]</sup>** 设向量函数  $\dot{x}(\cdot) : [-h, 0] \rightarrow \mathbb{R}^n$  一阶连续可微, 则对于任意矩阵  $M_1, M_2 \in \mathbb{R}^n$  和  $0 \leq X = X^T \in \mathbb{R}^n$ , 有如下积分不等式:

$$\begin{aligned} - \int_{t-h}^t \dot{x}^T(s)X\dot{x}(s)ds \leq \\ \eta^T(t) \begin{bmatrix} M_1^T + M_1 & -M_1^T + M_2 \\ * & -M_2^T - M_2 \end{bmatrix} \eta(t) + \\ h\eta^T(t)[M_1 \ M_2]^T X^{-1}[M_1 \ M_2]\eta(t), \end{aligned} \quad (8)$$

其中  $\eta(t) = [x^T(t) \ x^T(t-h)]^T$ .

**引理 2<sup>[10]</sup>** 给定适当维数的矩阵  $Z^T = Z, E, \Delta$  和  $F$ , 且  $\Delta$  满足  $\Delta^T \Delta \leq I$ , 则

$$Z + E\Delta F + F^T \Delta^T E^T < 0$$

成立的充要条件是存在一个正数  $\varepsilon > 0$  使得

$$Z + \varepsilon EE^T + \varepsilon^{-1} F^T F < 0$$

成立.

### 3 镇定和鲁棒镇定(Stabilization and robust stabilization)

首先, 考虑如下标称闭环系统的时滞相关渐近稳定性条件:

$$\dot{x} = A_{Ki}x + A_{di}x(t-d_1) + B_{Ki}x(t-d_2), \quad (9)$$

其中:

$$A_{Ki} = A_i + B_i K_i, B_{Ki} = B_{di} K_i.$$

**定理 1** 对于给定的  $h_k$  和  $\mu_k$ , 如果存在正定对称矩阵  $X_i, \bar{Q}_{ki}, \bar{S}_{ki}, \bar{R}_k$  和矩阵  $Y_i, \bar{M}_{1ki}, \bar{M}_{2ki}$  ( $k = 1, 2, i \in S$ ) 使得如下矩阵不等式成立:

$$\begin{bmatrix} \bar{\Xi}_i & \Psi_{12i} & \Psi_{13i} & h_1 \bar{\Gamma}_{2i}^T & h_2 \bar{\Gamma}_{3i}^T & h_1 \bar{\Gamma}_{4i}^T & h_2 \bar{\Gamma}_{5i}^T \\ * & \Psi_{22i} & 0 & 0 & 0 & 0 & 0 \\ * & * & \Psi_{33i} & 0 & 0 & 0 & 0 \\ * & * & * & -h_1 J_{1i} & 0 & 0 & 0 \\ * & * & * & * & -h_2 J_{2i} & 0 & 0 \\ * & * & * & * & * & -h_1 J_{1i} & 0 \\ * & * & * & * & * & * & -h_2 J_{2i} \end{bmatrix} < 0, \quad (10)$$

其中:

$$\bar{\Xi}_i = \begin{bmatrix} \bar{\Xi}_{11i} & \bar{\Xi}_{12i} & \bar{\Xi}_{13i} & \bar{\Xi}_{14i} & \bar{\Xi}_{15i} & W_i^T \\ * & \bar{\Xi}_{22i} & 0 & 0 & 0 & 0 \\ * & * & \bar{\Xi}_{33i} & 0 & 0 & 0 \\ * & * & * & \bar{\Xi}_{44i} & 0 & 0 \\ * & * & * & * & \bar{\Xi}_{55i} & 0 \\ * & * & * & * & * & -U_i \end{bmatrix},$$

$$\begin{aligned} \bar{\Xi}_{11i} = A_i X_i + B_i Y_i + X_i A_i^T + Y_i^T B_i^T + \pi_{ii} X_i + \\ \sum_{k=1}^2 2(\bar{M}_{1ki}^T + \bar{M}_{1ki}) + \sum_{k=1}^2 \bar{Q}_{ki} + \sum_{k=1}^2 \bar{S}_{ki}, \end{aligned}$$

$$\bar{\Xi}_{12i} = A_{di} X_i - \bar{M}_{11i}^T + \bar{M}_{21i},$$

$$\bar{\Xi}_{22i} = -(1 - \mu_1) \bar{Q}_{1i} - \bar{M}_{21i}^T - \bar{M}_{21i},$$

$$\bar{\Xi}_{13i} = B_{di} Y_i - \bar{M}_{12i}^T + \bar{M}_{22i},$$

$$\bar{\Xi}_{33i} = -(1 - \mu_2) \bar{Q}_{2i} - \bar{M}_{22i}^T - \bar{M}_{22i},$$

$$\bar{\Xi}_{14i} = -\bar{M}_{11i}^T + \bar{M}_{21i}, \bar{\Xi}_{15i} = -\bar{M}_{12i}^T + \bar{M}_{22i},$$

$$\bar{\Xi}_{44i} = -\bar{S}_{1i} - \bar{M}_{21i}^T - \bar{M}_{21i},$$

$$\begin{aligned}\bar{\Xi}_{55i} &= -\bar{S}_{2i} - \bar{M}_{22i}^T - \bar{M}_{22i}, \\ \Psi_{12i} &= 2h_1\bar{\Gamma}_{1i}^T, \quad \Psi_{22i} = -2h_1\bar{R}_1, \quad \Psi_{13i} = 2h_2\bar{\Gamma}_{1i}^T, \\ \Psi_{33i} &= -2h_2\bar{R}_2, \quad J_{ki} = X_i\bar{R}_k^{-1}X_i, \\ \bar{\Gamma}_{1i} &= [A_iX_i + B_iY_i \ A_{di}X_i \ B_{di}Y_i \ 0 \ 0 \ 0], \\ \bar{\Gamma}_{2i} &= [\bar{M}_{11i} \ \bar{M}_{21i} \ 0 \ 0 \ 0 \ 0], \\ \bar{\Gamma}_{3i} &= [\bar{M}_{12i} \ 0 \ \bar{M}_{22i} \ 0 \ 0 \ 0], \\ \bar{\Gamma}_{4i} &= [\bar{M}_{11i} \ 0 \ 0 \ \bar{M}_{21i} \ 0 \ 0], \\ \bar{\Gamma}_{5i} &= [\bar{M}_{12i} \ 0 \ 0 \ 0 \ \bar{M}_{22i} \ 0], \\ W_i &= \\ &[\sqrt{\pi_{i1}}X_i \ \cdots \ \sqrt{\pi_{ii-1}}X_i \ \sqrt{\pi_{ii+1}}X_i \ \cdots \ \sqrt{\pi_{iN}}X_i], \\ U_i &= \text{diag}\{X_1 \ \cdots \ X_{i-1} \ X_{i+1} \ \cdots \ X_N\},\end{aligned}$$

则闭环系统(9)渐近稳定, 且镇定控制器增益 $K_i = Y_iX_i^{-1}$ .

**证** 考虑如下Lyapunov-Krasovskii泛函:

$$\begin{aligned}V(x_t, i) = & x^T P_i x + \sum_{k=1}^2 \int_{t-d_k}^t x^T(s) Q_k x(s) ds + \\ & \sum_{k=1}^2 \int_{t-h_k}^t x^T(s) S_k x(s) ds + \\ & \sum_{k=1}^2 \int_{-h_k}^0 \int_{t+\theta}^t \dot{x}^T(s)(2R_k)\dot{x}(s) ds d\theta.\end{aligned}\quad (11)$$

假设在 $t$ 时刻有 $r_t = i \in S$ , 对 $V(x_t, i)$ 取弱无穷小算子 $\mathcal{L}[\cdot]$ <sup>[9]</sup>, 则有

$$\begin{aligned}\mathcal{L}[V(x_t, i)] = & 2x^T P_i \dot{x} + x^T \left( \sum_{j \in S} \pi_{ij} P_j \right) x + \sum_{k=1}^2 [x^T Q_k x - \\ & (1 - \dot{d}_k)x^T(t - d_k)Q_k x(t - d_k)] + \\ & \sum_{k=1}^2 [x^T S_k x - x^T(t - h_k)S_k x(t - h_k)] + \\ & \sum_{k=1}^2 [2h_k \dot{x}^T R_k \dot{x} - \int_{t-h_k}^t \dot{x}^T(s)(2R_k)\dot{x}(s) ds].\end{aligned}\quad (12)$$

根据引理1, 对于任意矩阵 $M_{1ki}, M_{2ki}$ ( $k = 1, 2, i \in S$ ), 有

$$\begin{aligned}- \int_{t-h_k}^t \dot{x}^T(s)(2R_k)\dot{x}(s) ds &\leqslant \\ - \int_{t-d_k}^t \dot{x}^T(s)R_k \dot{x}(s) ds - & \\ \int_{t-h_k}^t \dot{x}^T(s)R_k \dot{x}(s) ds &\leqslant \\ \zeta_{1k}^T \begin{bmatrix} M_{1ki}^T + M_{1ki} & -M_{1ki}^T + M_{2ki} \\ * & -M_{2ki}^T - M_{2ki} \end{bmatrix} \zeta_{1k} + &\end{aligned}$$

$$\begin{aligned}h_k \zeta_{1k}^T \begin{bmatrix} M_{1ki}^T \\ M_{2ki}^T \end{bmatrix} R_k^{-1} [M_{1ki} \ M_{2ki}] \zeta_{1k} + \\ \zeta_{2k}^T \begin{bmatrix} M_{1ki}^T + M_{1ki} & -M_{1ki}^T + M_{2ki} \\ * & -M_{2ki}^T - M_{2ki} \end{bmatrix} \zeta_{2k} + \\ h_k \zeta_{2k}^T \begin{bmatrix} M_{1ki}^T \\ M_{2ki}^T \end{bmatrix} R_k^{-1} [M_{1ki} \ M_{2ki}] \zeta_{2k},\end{aligned}\quad (13)$$

其中:

$$\zeta_{1k} = [x^T \ x^T(t - d_k)]^T, \quad \zeta_{2k} = [x^T \ x^T(t - h_k)]^T.$$

利用式(13), 经过整理, 由定义1知, 如果 $L[V(x_t, i)] < 0 (\forall x(t) \neq 0)$ 成立, 则闭环系统(9)渐近稳定. 由于篇幅有限, 证明过程从略. 证毕.

**注 1** 定理1不需要假设矩阵对 $(A_i, B_i)$ 或 $(A_i + A_{di}, B_i)$ 是否能控或能稳, 只要式(10)的可行解存在, 就可以找到使原系统渐近稳定的控制器.

**注 2** 定理1的证明中使用了不等式

$$-\int_{t-h_k}^t \dot{x}^T(s)R_k \dot{x}(s) ds \leqslant -\int_{t-d_k}^t \dot{x}^T(s)R_k \dot{x}(s) ds,$$

这样可避免式(10)的对角线上出现单独的 $-(1 - \mu_k)Q_k$ 项, 从而去除了 $\mu_k < 1$ 的限制, 但这将增加额外的保守性.

接下来, 由引理2, 可得如下的系统(1)鲁棒镇定时滞相关条件.

**定理 2** 对于给定的 $h_k$ 和 $\mu_k$ , 如果存在正定对称矩阵 $X_i, \bar{Q}_{ki}, \bar{S}_{ki}, \bar{R}_k$ 和矩阵 $Y_i, \bar{M}_{1ki}, \bar{M}_{2ki}$ , 以及标量 $\varepsilon_i > 0 (k = 1, 2, i \in S)$ , 使得如下矩阵不等式成立:

$$\begin{bmatrix} \Psi_i & \varepsilon_i \bar{H}_i & \bar{E}_i^T \\ * & -\varepsilon_i I & 0 \\ * & * & -\varepsilon_i I \end{bmatrix} < 0,\quad (14)$$

其中:

$$\bar{H}_i = [H_i^T \ 0 \ h_1 H_i^T \ h_2 H_i^T \ 0]^T,$$

$$\bar{E}_i = [E_{1i}X_i + E_{3i}Y \ E_{2i}X_i \ E_{4i}Y_i \ 0],$$

则闭环系统(1)鲁棒稳定, 且相应的鲁棒镇定控制器增益 $K_i = Y_iX_i^{-1}$ .

#### 4 鲁棒 $H_\infty$ 控制(Robust $H_\infty$ control)

本节将进一步考虑鲁棒 $H_\infty$ 控制器设计问题.

**定理 3** 对于给定的 $h_k, \mu_k$ 和 $\gamma > 0$ , 如果存在正定对称矩阵 $X_i, \bar{Q}_{ki}, \bar{S}_{ki}, \bar{R}_k$ 和矩阵 $Y_i, \bar{M}_{1ki}, \bar{M}_{2ki}$ , 以及标量 $\varepsilon_i > 0 (k = 1, 2, i \in S)$ , 使得如下矩阵不等式成立:

$$\begin{bmatrix} \bar{\Psi}_i & \varepsilon_i \tilde{H}_i & \tilde{E}_i^T \\ * & -\varepsilon_i I & 0 \\ * & * & -\varepsilon_i I \end{bmatrix} < 0,\quad (15)$$

其中:

$$\bar{\Psi}_i = \begin{bmatrix} \bar{\Xi}_i & \bar{T}_i & \Psi_{12i} & \Psi_{13i} & h_1 \bar{F}_{2i}^T & h_2 \bar{F}_{3i}^T & h_1 \bar{F}_{4i}^T & h_2 \bar{F}_{5i}^T \\ * & \bar{\Psi}_{22i} & \bar{\Psi}_{23i} & \bar{\Psi}_{24i} & 0 & 0 & 0 & 0 \\ * & * & \Psi_{22i} & 0 & 0 & 0 & 0 & 0 \\ * & * & * & \bar{\Psi}_{33i} & 0 & 0 & 0 & 0 \\ * & * & * & * & -h_1 J_{1i} & 0 & 0 & 0 \\ * & * & * & * & * & -h_2 J_{2i} & 0 & 0 \\ * & * & * & * & * & * & -h_1 J_{1i} & 0 \\ * & * & * & * & * & * & * & -h_2 J_{2i} \end{bmatrix},$$

$$\begin{aligned} \bar{\Psi}_{22i} &= D_{\omega i}^T D_{\omega i} - \gamma^2 I, \bar{\Psi}_{23i} = 2h_1 B_{\omega i}^T, \\ \bar{T}_i &= [B_{\omega i}^T + D_{\omega i}^T (C_i X_i + D_i Y_i) \quad D_{\omega i}^T C_{di} X_i \\ &\quad D_{\omega i}^T D_{di} Y_i \quad 0]^T, \\ \bar{\Psi}_{24i} &= 2h_2 B_{\omega i}^T, \\ \bar{H}_i &= [H_i^T \quad 0 \quad 2h_1 H_i^T \quad 2h_2 H_i^T \quad 0]^T, \\ \tilde{E}_i &= [E_{1i} X_i + E_{3i} Y_i \quad E_{2i} X_i \quad E_{4i} Y_i \quad 0], \end{aligned}$$

则闭环系统(1)鲁棒稳定且具 $H_\infty$ 范数界, 相应的鲁棒 $H_\infty$ 控制器增益 $K_i = Y_i X_i^{-1}$ .

**注 3** 对于给定的扰动抑制水平 $\gamma > 0$ , 通过求解式(15), 可以得到系统(1)的鲁棒 $\gamma$ -次优 $H_\infty$ 控制器. 进一步, 在约束条件: 式(15),  $X_i > 0$ ,  $\bar{Q}_{ki} > 0$ ,  $\bar{S}_{ki} > 0$ ,  $\bar{R}_k > 0$ 和 $\varepsilon_i > 0$ 下, 最小化:  $\gamma^2$ , 可以得到系统(1)的鲁棒最优 $H_\infty$ 控制器, 相应的最小扰动抑制水平为 $\gamma_{\min}$ .

由定理3, 很容易得到如下仅存状态时滞的标称Markov跳变系统的有界实引理(BRL).

**推论 1** 对于给定的 $h_1$ ,  $\mu_1$ 和 $\gamma > 0$ , 如果存在正定对称矩阵 $P_i$ ,  $Q$ ,  $S$ 和 $R$ 使得如下LMIs:

$$\begin{bmatrix} \Theta_i & N_i & 2h_1 A_{1i}^T R & h_1 A_{2i}^T & h_1 A_{3i}^T \\ * & \bar{\Psi}_{i22} & 2h_1 B_{\omega i}^T R & 0 & 0 \\ * & * & -2h_1 R & 0 & 0 \\ * & * & * & -h_1 R & 0 \\ * & * & * & * & -h_1 R \end{bmatrix} < 0$$

成立, 则仅存状态时滞的无输入标称Markov跳变系统(1)渐近稳定且具 $H_\infty$ 范数界 $\gamma$ . 其中:

$$\Theta_i = \begin{bmatrix} \Upsilon_i & P_i A_{di} - M_{1i}^T + M_{2i} & -M_{1i}^T + M_{2i} \\ * & -(1-\mu_1) Q - M_{2i}^T - M_{2i} & 0 \\ * & * & -S - M_{2i}^T - M_{2i} \end{bmatrix},$$

$$N_i = [B_{\omega i}^T P_i + D_{\omega i}^T C_i \quad D_{\omega i}^T C_{di} \quad 0]^T,$$

$$\Upsilon_i = P_i A_i + A_i^T P_i + \left( \sum_{j \in S} \pi_{ij} P_j \right) +$$

$$2(M_{1i}^T + M_{1i}) + Q + S,$$

$$\Lambda_{1i} = [A_i \quad A_{di} \quad 0], \quad \Lambda_{2i} = [M_{1i} \quad M_{2i} \quad 0],$$

$$\Lambda_{3i} = [M_{1i} \quad 0 \quad M_{2i}].$$

**注 4** 本文采用方法的优点在于既可以引入较少的求解变量, 又可以使所得结果具有较小的保守性. 以推论1为例, 文献[5]和本文需要求解的变量个数分别为 $n(n+1)(2s+1)/2 + sn^2$ 和 $n(n+1)(s+3)/2$ . 当 $n=2$ ,  $s=2$ 时, 这两个数目将分别为23和15, 而随着 $n$ 和 $s$ 的增大, 本文计算效率的优势将更加明显. 而后文给出的数值算例, 也将表明本文的结果比文献[5]具有更小的保守性.

## 5 控制器迭代求解算法(Controller iteration solving algorithms)

在式(10)(14)和(15)中都含有非线性项 $X_i \bar{R}_k^{-1} X_i$ , 这使得定理1、定理2和定理3都是非凸优化问题. 下面以定理1为例, 给出相应的基于锥补线性化<sup>[11]</sup>的迭代求解算法. 而对于注3中的鲁棒最优 $H_\infty$ 控制器设计问题, 需要在算法1中固定 $h_1$ 和 $h_2$ , 最小化 $\gamma^2$ .

**算法 1**(固定 $h_2$ , 最大化 $h_1$ )

**Step 1** 给定 $h_2$ , 设 $l=0$ ,  $h_1^l=0$ . 定义

$$V_{1i} = \{X_i, \tilde{X}_i, \bar{R}_{ki}, \tilde{R}_{ki}, J_{ki}, \tilde{J}_{ki}\},$$

$$V_{2i} = \{\bar{Q}_{ki}, \bar{S}_{ki}, Y_i, \bar{M}_{1ki}, \bar{M}_{2ki}\}(k=1, 2, i \in S),$$

求解满足约束(10)和

$$\begin{bmatrix} \tilde{J}_{ki} & \tilde{X}_i \\ \tilde{X}_i & \tilde{R}_{ki} \end{bmatrix} \geqslant 0, \quad \begin{bmatrix} J_{ki} & I \\ I & \tilde{J}_{ki} \end{bmatrix} \geqslant 0, \quad (16)$$

$$\begin{bmatrix} X_i & I \\ I & \tilde{X}_i \end{bmatrix} \geqslant 0, \quad \begin{bmatrix} \bar{R}_{ki} & I \\ I & \tilde{R}_{ki} \end{bmatrix} \geqslant 0$$

的可行解 $\{V_{1i}^0, V_{2i}^0\}$ . 其中, 约束(10)中的 $J_{ki}$ 不要替换为 $X_i \bar{R}_k^{-1} X_i$ .

**Step 2** 对 $\{V_{1i}, V_{2i}\}$ 最小化:

$$\text{tr}(X_i^l \tilde{X}_i + \tilde{X}_i^l X_i + \sum_{k=1}^2 J_{ki}^l \tilde{J}_{ki} + \tilde{J}_{ki}^l J_{ki} + \bar{R}_{ki}^l \tilde{R}_{ki} + \tilde{R}_{ki}^l \bar{R}_{ki}),$$

约束条件: 式(10)和(16). 令 $V_{1i}^{l+1} = V_{1i}$ ( $i \in S$ ).

**Step 3** 如果Step 2的解满足式(9), 则 $h_1^{l+1} = h_1^l + \Delta h$ , 并返回Step 1. 其中 $\Delta h$ 为迭代步长.

**Step 4** 如果 $l \geq l_{\max}$ , 则终止迭代, 其中 $l_{\max}$ 为最大迭代数; 否则, 令 $l = l + 1$ , 返回Step 2.

## 6 数值算例(Numerical example)

**例 1** 考虑文献[5]中的例2, 参数见文献[5], 本文省略.

设 $\mu_1 = 0$ , 对于给定的 $\gamma > 0$ , 求解推论1可得保证系统渐近稳定的最大 $h_1$ . 对不同 $\gamma$ 的比较结果见

表1. 由表1可见, 本文中的推论1比文献[2, 5]中的结果具有更小的保守性.

表1 对不同 $\gamma$ 的最大 $h_1$   
Table 1 Maximum  $h_1$  for different  $\gamma$

$\gamma$	0.5	1	1.5	2
文献[2]所得最大 $h_1$	0.1843	0.2019	0.2069	0.2092
文献[5]所得最大 $h_1$	0.4156	0.4739	0.4926	0.5022
本文所得最大 $h_1$	0.9804	1.5359	2.0067	2.4286

例2 考虑一个2-模态跳变系统(1), 参数如下:

$$\begin{aligned} A_1 &= \begin{bmatrix} 1 & 1 \\ 0 & 0.6 \end{bmatrix}, \quad A_{d1} = \begin{bmatrix} 0.2 & 0.5 \\ 0 & 0.2 \end{bmatrix}, \\ B_1 &= \begin{bmatrix} 1 \\ 0 \end{bmatrix}, \quad B_{d1} = \begin{bmatrix} 0.2 \\ 0.1 \end{bmatrix}, \quad H_1 = \begin{bmatrix} 0.1 \\ 0.2 \end{bmatrix}, \\ A_2 &= \begin{bmatrix} 1 & 2 \\ 0 & 0.4 \end{bmatrix}, \quad A_{d2} = \begin{bmatrix} 0.1 & 0.5 \\ 0 & 0.3 \end{bmatrix}, \\ B_2 &= \begin{bmatrix} 2 \\ 0 \end{bmatrix}, \quad B_{d2} = \begin{bmatrix} 0.1 \\ 0.2 \end{bmatrix}, \quad H_2 = \begin{bmatrix} 0.2 \\ 0.1 \end{bmatrix}, \\ E_{11} &= [0 \ 0.01], \quad E_{21} = [0 \ 0.01], \\ E_{31} &= 0.01, \quad E_{41} = 0.02, \quad C_1 = [1 \ 2], \\ C_{d1} &= [1 \ 2], \quad D_1 = 1, \quad D_{d1} = 1, \quad D_{\omega 1} = 0, \\ E_{12} &= [0.01 \ 0], \quad E_{22} = [0.01 \ 0], \quad E_{32} = 0.02, \\ E_{42} &= 0.01, \quad C_2 = [2 \ 1], \quad C_{d2} = [2 \ 1], \\ D_2 &= 2, \quad D_{d2} = 1, \quad D_{\omega 2} = 0. \\ \text{转移概率矩阵} \Pi &= \begin{bmatrix} -0.6 & 0.6 \\ 0.4 & -0.4 \end{bmatrix}. \end{aligned}$$

首先考虑标称系统的镇定问题. 容易验证: 矩阵对 $(A_i, B_i)$ 和 $(A_i + A_{di}, B_i)$ 都是不能稳的. 但是设

$$h_2 = 0.1, \mu_1 = \mu_2 = 1.1, l_{\max} = 100,$$

利用定理1和算法1可解得使系统镇定的最大 $h_1 = 1.35$ 以及相应的控制器增益:

$$K_1 = [-4.3091 \ 21.4516],$$

$$K_2 = [-4.0042 \ 19.7035].$$

设初始状态为

$$x_0 = (1, -1)^T, \quad x(t) = 0 (\forall t < 0), \quad r_0 = 1,$$

使用MATLAB/Simulink进行仿真, 可得标称闭环系统的模态与状态轨迹如图1(a)和(b)所示. 其中, 时变时滞设为

$$d_k(t) = h_k(\sin a_k t + 1)/2,$$

$$a_k = 2\mu_k/h_k (k = 1, 2),$$

这样可以保证时变时滞满足式(4).

从图1(b)可以看出, 得到的控制器能确保系统状态趋于零. 但是, 如果去掉时滞控制输入项 $B_{di}u(t - d_2(t))$ , 闭环系统将不再稳定(如图1(c)所示). 由此可以明确看出: 由于输入时滞项引入了更多的系统状态信息, 达到了对系统更为有效的控制. 下面, 由定理3和算法1, 求得对不同 $\gamma$ , 系统存在鲁棒 $\gamma$ -次优 $H_\infty$ 控制器的最大 $h_1$ (见表2).

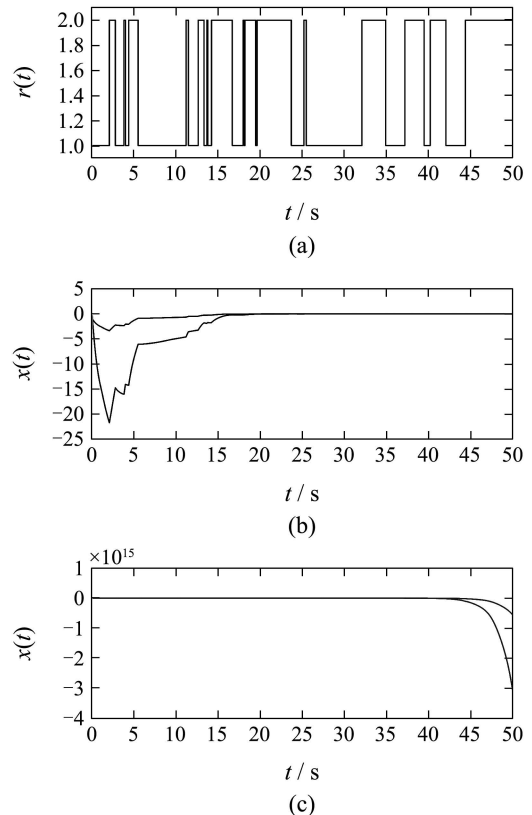


图1 模态和状态轨迹

Fig. 1 Trajectories of modes and states

表2 对不同 $\gamma$ 的最大 $h_1$

Table 2 Maximum  $h_1$  for different  $\gamma$

$\gamma$	0.1	0.08	0.06	0.04	0.02	0.01
$h_1$	0.9	0.8	0.4	0.3	0.003	0.001

由表2可以看出, 随着 $\gamma$ 的减小, 系统存在鲁棒 $\gamma$ -次优 $H_\infty$ 控制器的最大 $h_1$ 也随之减小. 进而, 取 $h_1 = 0.3$ , 求解注3和算法1得到 $\gamma_{\min} = 0.03$ , 对应的

$$K_1 = [-7.8671 \ 45.8946],$$

$$K_2 = [-11.9622 \ 76.8205].$$

对比表2中的结果, 可见对于相同的 $h_1$ , 最优 $H_\infty$ 控制器可以取得更小的 $\gamma$ .

## 7 结论(Conclusion)

本文采用新的Lyapunov-Krasovskii泛函, 基于积分不等式方法, 研究了具有时变输入与状态时滞的不确定Markov跳变系统鲁棒 $H_\infty$ 控制问题. 不使用模型变换和交叉项定界技术, 也不由零等式引入松弛变量, 数值算例表明所得结果具有较小的保守性.

## 参考文献(References):

- [1] XU S Y, CHEN T W, LAM J. Robust  $H_\infty$  filtering for uncertain Markovian jump systems with mode-dependent time delays[J]. *IEEE Transactions on Automatic Control*, 2003, 48(5): 900 – 907.
- [2] BOUKAS E K, LIU Z K, LIU G X. Delay-dependent robust stability and  $H_\infty$  control of jump linear systems with time-delay[J]. *International Journal of Control*, 2001, 74(4): 329 – 340.
- [3] CAO Y Y, YAN W J, XUE A. Improved delay-dependent stability conditions and  $H_\infty$  control for jump time-delay systems[C] //*IEEE Conference on Decision and Control*. New York: IEEE, 2004: 4527 – 4532.
- [4] WU J, CHEN T W, WANG L. Delay-dependent robust stability and  $H_\infty$  control for jump linear systems with delays[J]. *Systems & Control Letters*, 2006, 55(11): 939 – 948.
- [5] XU S Y, JAMES L, MAO X R. Delay-dependent  $H_\infty$  control and filtering for uncertain Markovian jump systems with time-varying delays[J]. *IEEE Transactions Circuits & Systems I*, 2007, 54(9): 2070 – 2077.
- [6] KANG Y. Stochastic stabilization of Markovian jump systems with state and input delays[C] //*Proceedings of the 26th Chinese Control Conference*. Beijing: Beihang University Press, 2007: 716 – 720.
- [7] SUN M H, JAMES L, XU S Y, et al. Robust exponential stabilization for Markovian jump systems with mode-dependent input delay[J]. *Automatica*, 2007, 43(10): 1799 – 1807.
- [8] ZHANG X M, WU M, SHE J H, et al. Delay-dependent stabilization of linear systems with time-varying state and input delays[J]. *Automatica*, 2005, 41(8): 1405 – 1412.
- [9] FENG X, LOPARO K A, JI Y, et al. Stochastic stability properties of jump linear systems[J]. *IEEE Transactions on Automatic Control*, 1992, 37(1): 38 – 53.
- [10] PETERSEN I R, HOLLOT C V. A riccati equation approach to the stabilization of uncertain linear systems[J]. *Automatica*, 1986, 22(4): 397 – 411.
- [11] GHAOUI E, OUSTRY L, AITRAMI M. A cone complementarity linearization algorithm for static output-feedback and related problems[J]. *IEEE Transactions on Automatic Control*, 1997, 42(8): 1171 – 1176.

## 作者简介:

- 刘健辰 (1978—), 男, 博士研究生, 从事随机跳变系统鲁棒控制的研究, E-mail: liujian4587@sina.com;
- 章兢 (1957—), 男, 教授, 博士生导师, 从事复杂系统鲁棒和智能控制等的研究, E-mail: zhangj@hnu.cn.